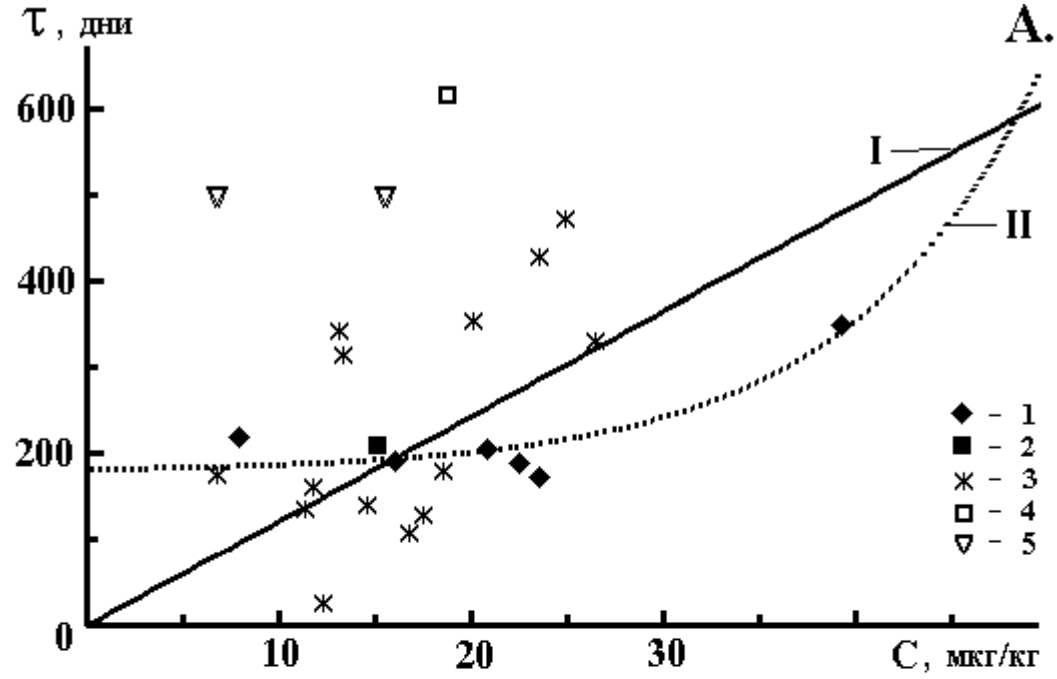

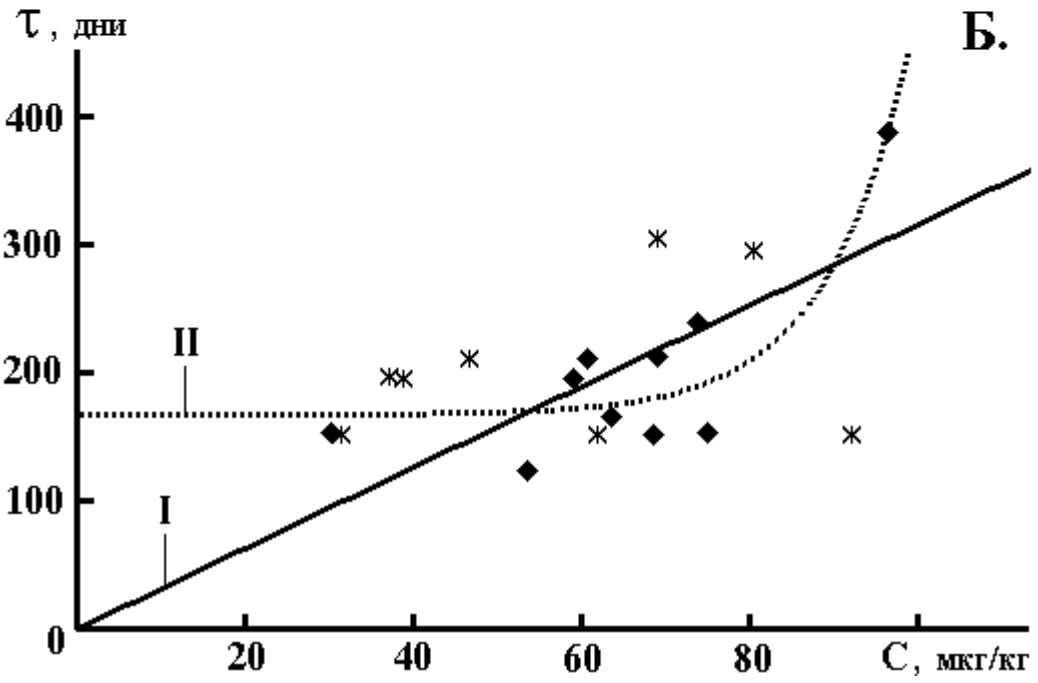

Рис.1. Зависимость индивидуальной продолжительности жизни (τ) крыс от индивидуального суммарного выхода 7,8-БП у них в моче (**С**) за первые 5 суток после однократного введения БП в дозе 100 (**А**) и 200 (**Б**) мг/кг.

Условные обозначения на графике: точками **1-3** обозначены экспериментальные данные для животных, у которых после введения БП: **1** – образовывались опухоли внутренних органов, **2** – образовывались подкожные опухоли, **3** – опухоли не образовывались; точками **4** и **5** обозначены отсекаемые выскакивающие значения для групп животных **2** и **3**, соответственно.

Линиями обозначены расчетные уравнения регрессии для: **I** – всей исследуемой группы животных (**А** – $\tau = 12{,}2^{x}\mathbf{C}$, **r**=0,510, $p<0{,}05$; **Б** – $\tau = 3{,}15^{x}\mathbf{C}$, **r**=0,484, $p<0{,}05$);

II – животных, у которых после введения БП образовывались опухоли внутренних органов (**А** – $\tau = 178 + 3{,}23^{x}\mathbf{e}^{\mathbf{C/10}}$, **r**=0,917, $p<0{,}01$; **Б** – $\tau = 167 + 0{,}014^{x}\mathbf{e}^{\mathbf{C/10}}$, **r**=0,893, $p<0{,}01$).

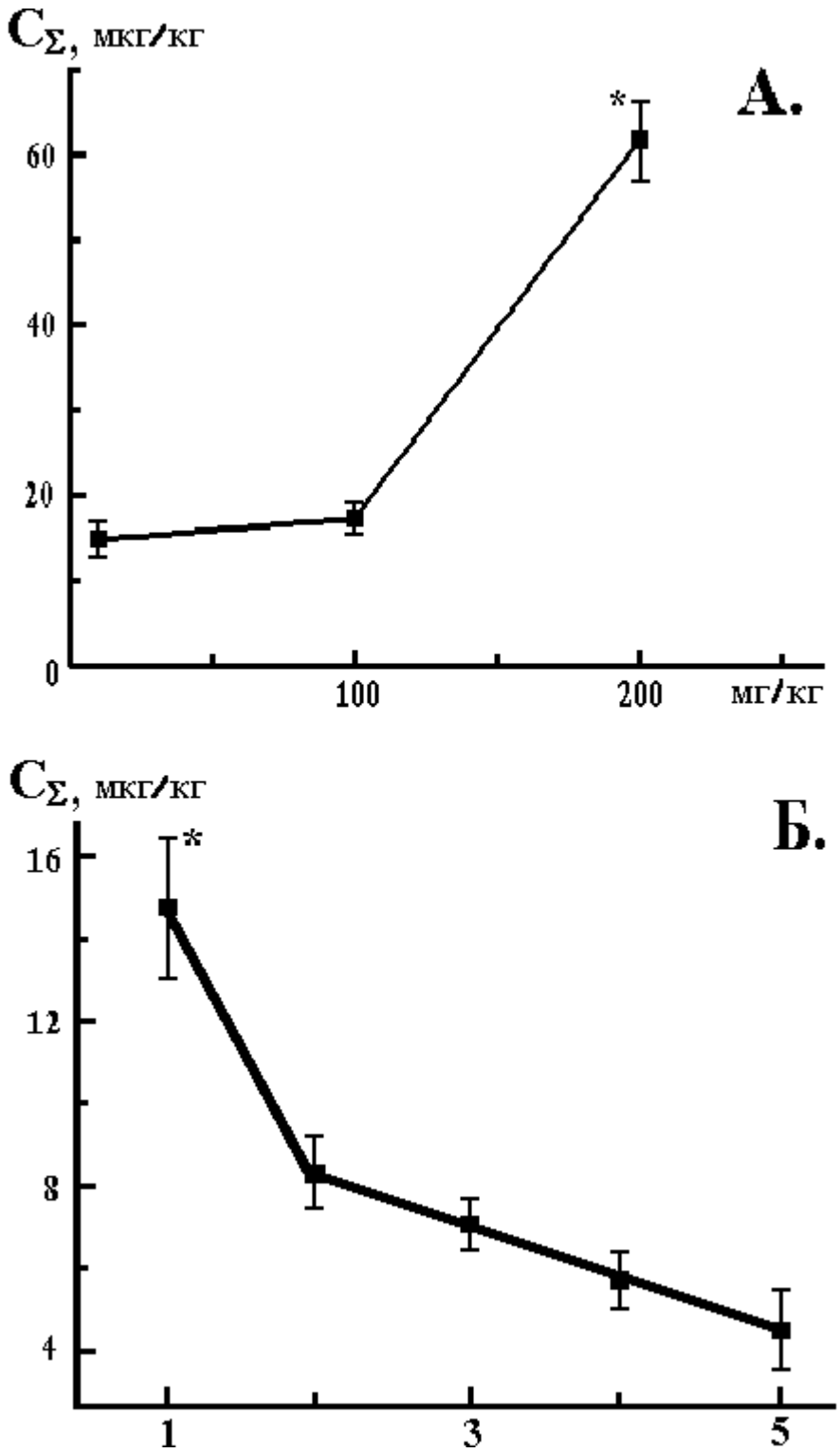

Рис.2. Изменение среднегруппового выхода 7,8-БП в моче животных за первые 5 суток после одно- (**А**) и многократного (**Б**) введения им БП в зависимости от дозы или числа инъекций.

По оси абсцисс: **А** – доза вводимого канцерогена, **Б** – число инъекций (по 10 мг/кг через 10 суток); по оси ординат: величина выхода 7,8-БП. Знаком "*" отмечены значения параметра, достоверно ($p<0,05$) отличающиеся от соседних с ними значений.

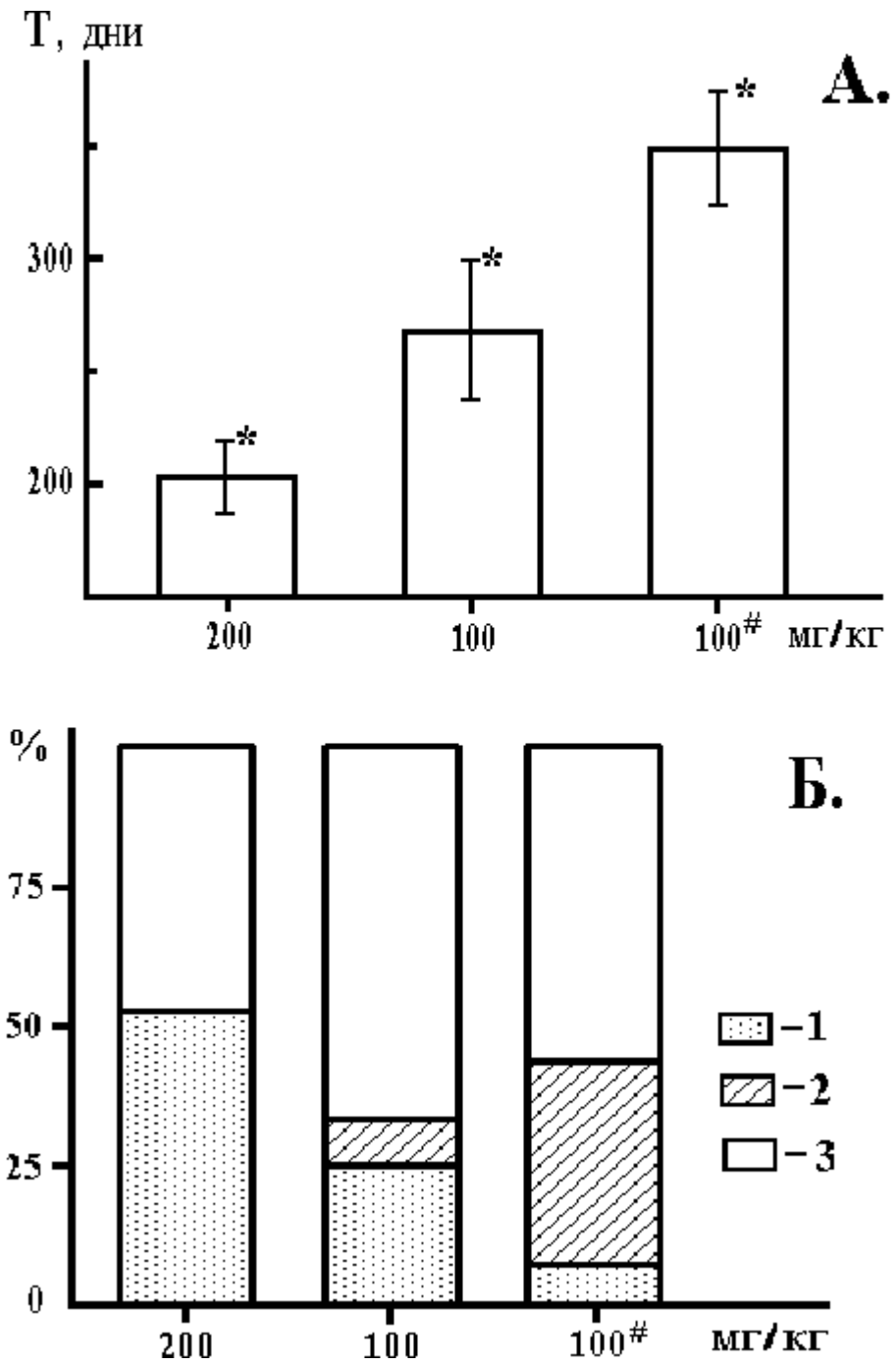

Рис.3. Изменение среднегруповых параметров в зависимости от дозы вводимого БП и режима его введения.

По оси абсцисс: доза вводимого канцерогена; знаком “#” помечен режим многократного введения (по 10 мг/кг через 10 суток); по оси ординат: **А** – средняя по группе продолжительность жизни крыс; **Б** – процент животных в группе, у которых после введения БП образовывались опухоли внутренних органов (**1**), подкожные опухоли (**2**), либо опухолей не обнаруживалось (**3**). Знаком “*“ отмечены значения параметра, достоверно ($p<0,05$) отличающиеся от соседних с ними значений.

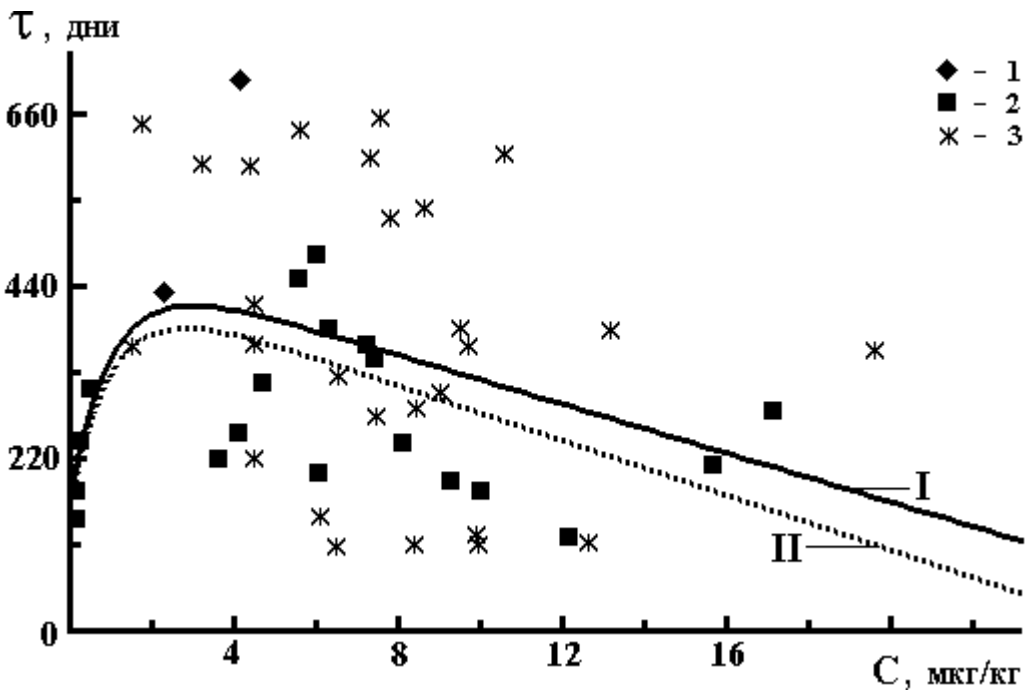

Рис.4. Зависимость индивидуальной продолжительности жизни (τ) крыс от индивидуального парциального выхода 7,8-БП у них в моче (**C**) за первые 5 суток после 3-й инъекции при многократном введении БП в дозе 10 мг/кг – 10 раз через каждые 10 дней.

Условные обозначения на графике для точек **1-3** – те же, что и на рис.1.

Линиями обозначены расчетные уравнения регрессии для: **I** – всей исследуемой группы животных ($\tau = 477 - 15{,}6^{x}\mathbf{C} - 309^{x}\mathbf{e}^{-\mathbf{C}}$, **r**=0,372, $p<0{,}05$);

II – животных, у которых после введения БП образовывались подкожные опухоли ($\tau = 454 - 17{,}5^{x}\mathbf{C} - 296^{x}\mathbf{e}^{-\mathbf{C}}$, **r**=0,547, $p<0{,}05$).

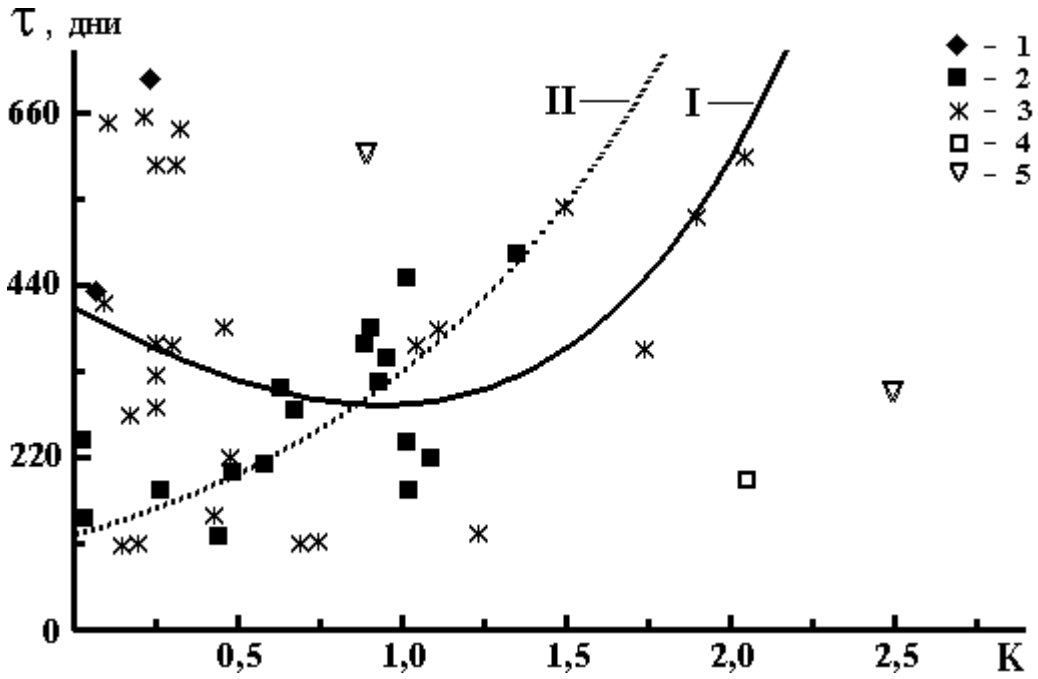

Рис.5. Зависимость индивидуальной продолжительности жизни (τ) крыс от отношения индивидуальных парциальных выходов 7,8-БП у них в моче за первые 5 суток после 3-й и 1-й инъекций (**К**) при многократном введении БП в дозе 10 мг/кг – 10 раз через каждые 10 дней.

Условные обозначения на графике для точек – те же, что и на рис.1.

Линиями обозначены расчетные уравнения регрессии для: **I** – всей исследуемой группы животных ($\tau = 265 - 377^{x}\mathbf{K} + 147^{x}\mathbf{e}^{\mathbf{K}}$, **r**=0,392, $p<0,05$);

II – животных, у которых после введения БП образовывались подкожные опухоли ($\tau = 121^{x}\mathbf{e}^{\mathbf{K}}$, **r**=0,663, $p<0,01$) .